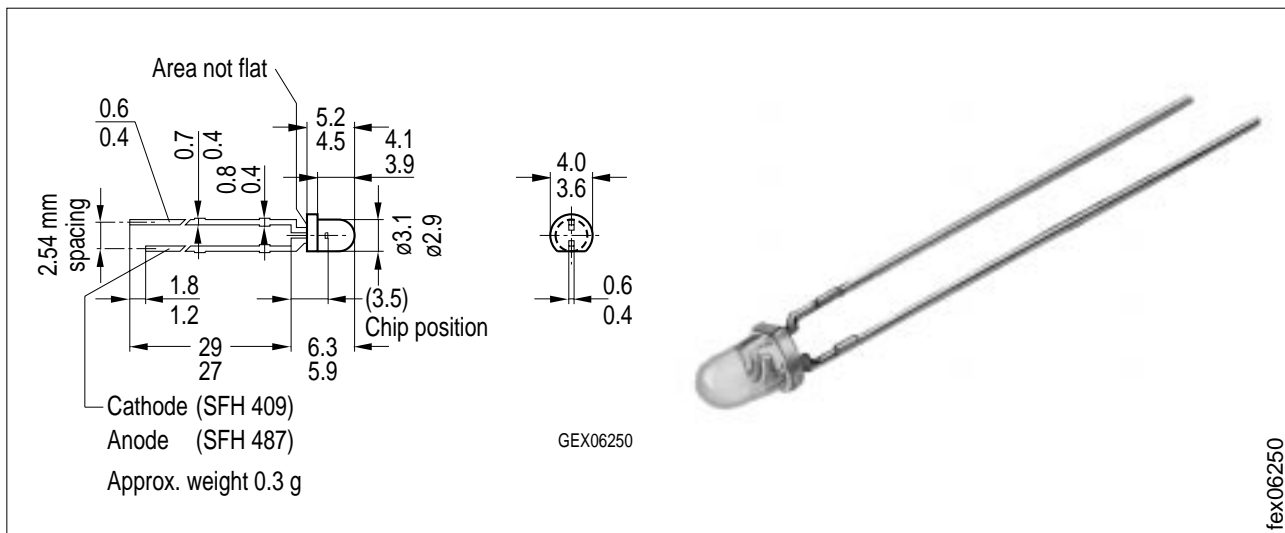


## GaAs-IR-Lumineszenzdiode GaAs Infrared Emitter

SFH 409



fex06250

Maße in mm, wenn nicht anders angegeben/Dimensions in mm, unless otherwise specified.

### Wesentliche Merkmale

- GaAs-IR-Lumineszenzdiode, hergestellt im Schmelzepitaxieverfahren
- Hohe Zuverlässigkeit
- Hohe Impulsbelastbarkeit
- Gruppiert lieferbar
- Gehäusegleich mit SFH 309, SFH 487

### Anwendungen

- Lichtschranken für Gleich- und Wechsellichtbetrieb
- IR Fernsteuerungen

### Features

- GaAs infrared emitting diode, fabricated in a liquid phase epitaxy process
- High reliability
- High pulse handling capability
- Available in groups
- Same package as SFH 309, SFH 487

### Applications

- Photointerrupters
- IR remote control of various equipment

Typ Type	Bestellnummer Ordering Code	Gehäuse Package
SFH 409	Q62702-P860	3-mm-LED-Gehäuse (T 1), grau eingefärbt, Anschlüsse im 2.54-mm-Raster ( $\frac{1}{10}$ "), Kathodenkennzeichnung: kürzerer Anschluß
SFH 409-1 <sup>1)</sup>	Q62702-P1001	
SFH 409-2	Q62702-P1002	3 mm LED package (T 1), grey-colored epoxy resin, solder tabs lead spacing 2.54 mm ( $\frac{1}{10}$ "), cathode marking: short lead

<sup>1)</sup> Nur auf Anfrage lieferbar.

<sup>1)</sup> Available only on request.

**Grenzwerte ( $T_A = 25^\circ\text{C}$ )****Maximum Ratings**

<b>Bezeichnung</b> <b>Description</b>	<b>Symbol</b> <b>Symbol</b>	<b>Wert</b> <b>Value</b>	<b>Einheit</b> <b>Unit</b>
Betriebs- und Lagertemperatur Operating and storage temperature range	$T_{\text{op}}, T_{\text{stg}}$	- 55 ... + 100	°C
Sperrsichttemperatur Junction temperature	$T_j$	100	°C
Sperrspannung Reverse voltage	$V_R$	5	V
Durchlaßstrom Forward current	$I_F$	100	mA
Stoßstrom, $\tau \leq 10 \mu\text{s}, D = 0$ Surge current	$I_{\text{FSM}}$	3	A
Verlustleistung Power dissipation	$P_{\text{tot}}$	165	mW
Wärmewiderstand Thermal resistance	$R_{\text{thJA}}$	450	K/W

**Kennwerte ( $T_A = 25^\circ\text{C}$ )****Characteristics**

<b>Bezeichnung</b> <b>Description</b>	<b>Symbol</b> <b>Symbol</b>	<b>Wert</b> <b>Value</b>	<b>Einheit</b> <b>Unit</b>
Wellenlänge der Strahlung Wavelength at peak emission $I_F = 100 \text{ mA}, t_p = 20 \text{ ms}$	$\lambda_{\text{peak}}$	950	nm
Spektrale Bandbreite bei 50 % von $I_{\text{max}}$ Spectral bandwidth at 50 % of $I_{\text{max}}$ $I_F = 100 \text{ mA}, t_p = 20 \text{ ms}$	$\Delta\lambda$	55	nm
Abstrahlwinkel Half angle	$\varphi$	$\pm 20$	Grad deg.
Aktive Chipfläche Active chip area	$A$	0.09	$\text{mm}^2$
Abmessungen der aktive Chipfläche Dimension of the active chip area	$L \times B$ $L \times W$	$0.3 \times 0.3$	mm
Abstand Chipoberfläche bis Linsenscheitel Distance chip surface to lens top	$H$	2.6	mm
Kapazität, $V_R = 0 \text{ V}$ Capacitance	$C_o$	25	pF

**Kennwerte ( $T_A = 25^\circ\text{C}$ )****Characteristics**

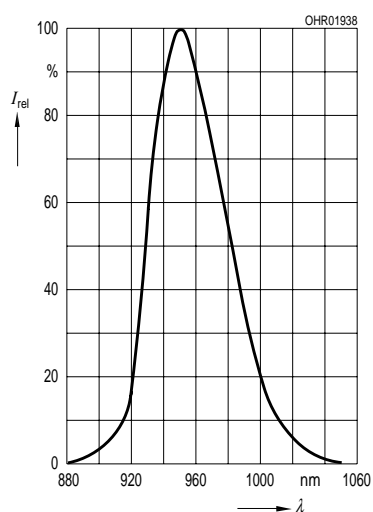
<b>Bezeichnung</b> <b>Description</b>	<b>Symbol</b> <b>Symbol</b>	<b>Wert</b> <b>Value</b>	<b>Einheit</b> <b>Unit</b>
Schaltzeiten, $I_e$ von 10 % auf 90 % und von 90 % auf 10 %, bei $I_F = 100 \text{ mA}$ , $R_L = 50 \Omega$ Switching times, $I_e$ from 10 % to 90 % and from 90 % to 10 %, $I_F = 100 \text{ mA}$ , $R_L = 50 \Omega$	$t_r, t_f$	1	$\mu\text{s}$
Durchlaßspannung Forward voltage $I_F = 100 \text{ mA}$ , $t_p = 20 \text{ ms}$ $I_F = 1 \text{ A}$ , $t_p = 100 \mu\text{s}$	$V_F$ $V_F$	1.30 ( $\leq 1.5$ ) 1.9 ( $\leq 2.5$ )	V V
Sperrstrom Reverse current $V_R = 5 \text{ V}$	$I_R$	0.01 ( $\leq 1$ )	$\mu\text{A}$
Gesamtstrahlungsfluß Total radiant flux $I_F = 100 \text{ mA}$ , $t_p = 20 \text{ ms}$	$\Phi_e$	15	mW
Temperaturkoeffizient von $I_e$ bzw. $\Phi_e$ , $I_F = 100 \text{ mA}$ Temperature coefficient of $I_e$ or $\Phi_e$ , $I_F = 100 \text{ mA}$	$TC_I$	-0.55	%/K
Temperaturkoeffizient von $V_F$ , $I_F = 100 \text{ mA}$ Temperature coefficient of $V_F$ , $I_F = 100 \text{ mA}$	$TC_V$	-1.5	mV/K
Temperaturkoeffizient von $\lambda_{\text{peak}}$ , $I_F = 100 \text{ mA}$ Temperature coefficient of $\lambda_{\text{peak}}$ , $I_F = 100 \text{ mA}$	$TC_\lambda$	+0.3	nm/K

**Gruppierung der Strahlstärke  $I_e$  in Achsrichtung**gemessen bei einem Raumwinkel  $\Omega = 0.01 \text{ sr}$ **Grouping of radiant intensity  $I_e$  in axial direction**at a solid angle of  $\Omega = 0.01 \text{ sr}$ 

<b>Bezeichnung</b> <b>Description</b>	<b>Symbol</b>	<b>Werte</b> <b>Values</b>			<b>Einheit</b> <b>Unit</b>
		<b>SFH 409</b>	<b>SFH 409-1<sup>1)</sup></b>	<b>SFH 409-2</b>	
Strahlstärke Radiant intensity $I_F = 100 \text{ mA}$ , $t_p = 20 \text{ ms}$ $I_F = 1 \text{ A}$ , $t_p = 100 \mu\text{s}$	$I_e$ $I_{e \text{ typ.}}$	$\geq 6.3$ -	6.3 ... 12.5 75	> 10 120	mW/sr mW/sr

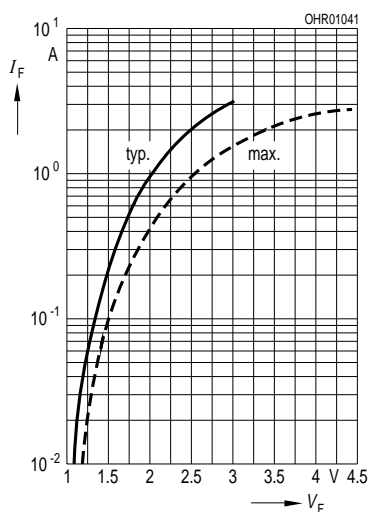
<sup>1)</sup> Nur auf Anfrage lieferbar.<sup>1)</sup> Available only on request.

**Relative spectral emission**  
 $I_{\text{rel}} = f(\lambda)$



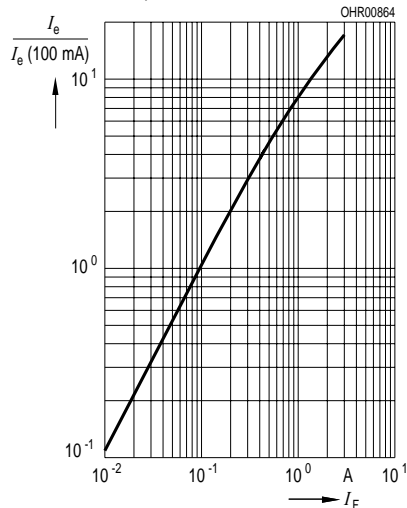
**Forward current**

$I_F = f(V_F)$ , single pulse,  $t_p = 20 \mu\text{s}$

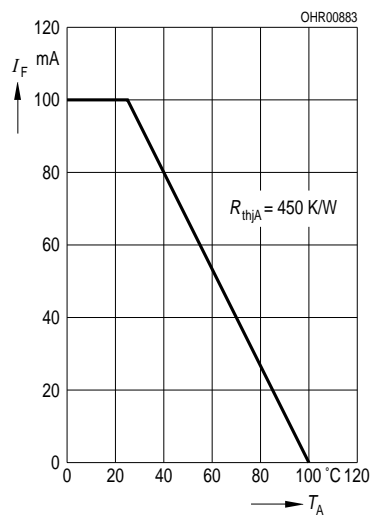


**Radiant intensity**  $\frac{I_e}{I_e 100 \text{ mA}} = f(I_F)$

Single pulse,  $t_p = 20 \mu\text{s}$

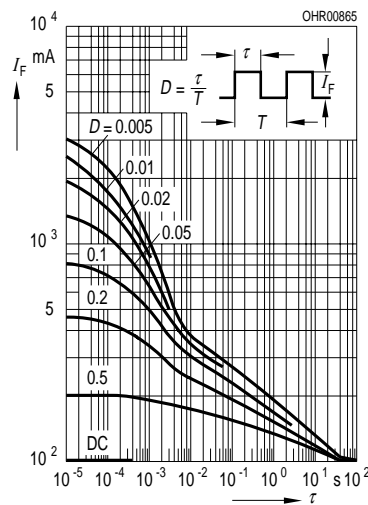


**Max. permissible forward current**  
 $I_F = f(T_A)$



**Permissible pulse handling capability**

$I_F = f(\tau)$ ,  $T_A = 25^\circ\text{C}$ ,  
duty cycle  $D = \text{parameter}$



**Radiation characteristics**  $I_{\text{rel}} = f(\varphi)$

